

## 直肠癌甲状腺转移超声表现 1 例

## Ultrasound manifestations of thyroid metastasis of rectal cancer: report of one case

刘 强, 凌文武(四川大学华西医院超声医学科, 四川 成都 610041)

LIU Qiang, LING Wen-wu(Department of Ultrasound, West China Hospital of Sichuan University, Chengdu 610041, China)

【关键词】 直肠肿瘤; 甲状腺肿瘤; 肿瘤转移; 超声检查

【中图分类号】 R735.37; R736.1; R445.1 【文献标识码】 B 【文章编号】 1008-1062(2024)05-0371-01

DOI:10.12117/jccmi.2024.05.018

**病例** 女, 70 岁, 因“发现颈前区无痛性包块 1 月余”入院。既往史: 10 余年前行直肠癌根治术。查体: 颈软, 气管居中, 左侧颈前区可触及大小约 4.5 cm×2.5 cm 包块, 形态欠规则, 边界清楚, 无触痛及红肿破溃, 可随吞咽上下活动。超声(图 1, 2)表现: 甲状腺左侧叶未见正常实质回声, 几乎被一大约 4.2 cm×3.3 cm×4.2 cm 的囊实混合回声团块占据, 边界较清楚, 形态欠规则, 以囊性成分为主, 囊内透声差, 充满细弱点状回声, 团块周边见实性乳头状结节突向囊腔内, 彩色多普勒超声显示实性成分内见点线状血流信号。左侧颈部 IV 区见多个淋巴结, 较大者约 1.1 cm×0.8 cm, 皮髓质分界不清,

内部回声不均匀, 见小片状无回声区, 可见点线状血流信号。超声提示: 甲状腺左侧叶囊实性占位, TI-RADS 分类: 4C; 左侧颈部淋巴结增大, 结构异常。患者行甲状腺左侧叶肿物切除术, 术中示甲状腺左侧叶不均质, 可触及数个包块, 质硬, 最大包块大小约 4.5 cm×2.2 cm, 包膜欠完整, 边界欠清, 压迫气管向右侧移位。术后病理(图 3): (甲状腺左侧叶)见黏液性腺癌, 结合形态学及免疫组化考虑消化道来源。免疫组化: PAX-8(-)、PAX-2(-)、CA125(-)、TTF-1(-)、TG(-)、CK19(+)、CD56(-)、MC(-)、WT-1(-)、P53(突变型)、KI-67(+10%)、CDX-2 个别(+), CK7(-)、CK20 少量(+).

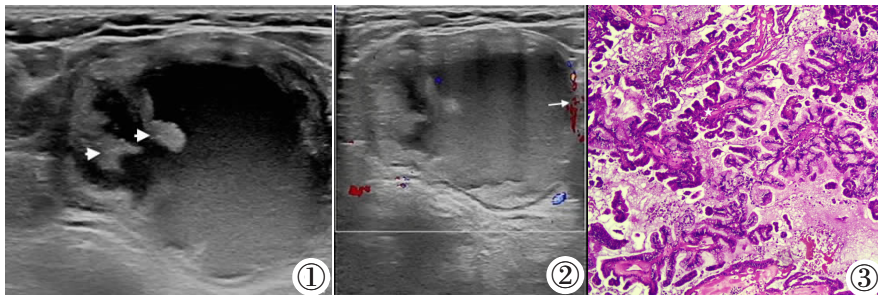


图 1~3 女, 70 岁, 直肠癌甲状腺转移。

图 1: 灰阶超声示甲状腺左侧叶几乎被大约 4.2 cm×3.3 cm×4.2 cm 的囊实混合回声团块占据, 边界较清楚, 形态欠规则, 以囊性成分为主, 囊内透声差, 充满细弱点状回声, 团块周边见实性乳头状结节(箭头)突向囊腔内。图 2: 彩色多普勒超声显示实性成分内见点线状血流信号(箭)。图 3: 病理示甲状腺左侧叶肿物见黏液性腺癌(星号, HE)。

**讨论** 结直肠癌高居全球恶性肿瘤发病率的第 3 位, 其转移途径主要包括直接侵犯、血行播散、淋巴结转移及种植转移等, 肝脏是最常见的远处转移部位, 而转移至甲状腺则极其罕见<sup>[1]</sup>, 现有报道主要以其临床特征分析为主, 关于直肠癌甲状腺转移的详细超声特征分析少之又少, 且不尽相同, 包括甲状腺弥漫性增大伴等回声结节<sup>[2]</sup>、本例报道的以囊性成分为主的囊实混合回声结节等, 均需要与其它常见的甲状腺原发疾病相鉴别。

在本病例中, 其超声表现需与其它甲状腺囊实性结节如结节性甲状腺肿、滤泡性腺瘤、囊性乳头状癌等相鉴别。结节性甲状腺肿常呈多发结节, 结节内部回声较为粗糙, 存在出血、钙化以及囊性变等超声表现, 其结节回声类似于周围腺体组织, 无包膜, 边界模糊, 与周边组织之间无明显声晕, 彩色多普勒血流成像显示腺体血流增加, 迂曲分支状血管穿行于结节间, 其血流信号较为贫乏<sup>[3]</sup>; 囊性乳头状癌常规超声特征可表现为实性结节边缘见一个或多个囊泡状无回声区, 也可表现为液化范围较大的囊腔内见偏心性不规则实性结节, 实性成分大多呈不均匀低回声, 伴钙化灶多见, 以微钙化灶为主<sup>[4]</sup>; 而甲状腺滤泡性腺瘤则以囊实混合性或囊性为主, 实性成分多呈等回声, 内部回声多较均匀, 伴钙化少见, 声晕存

在且多薄而均匀<sup>[5]</sup>。

直肠癌甲状腺转移与甲状腺其它囊实性结节鉴别困难, 当颈部同时出现转移性淋巴结时应考虑甲状腺转移癌可能, 最终需依靠穿刺或完整切除活检确诊。尽管本例病灶进行了完整地手术切除, 但患者在 2 年内相继出现了肝转移、胰腺转移及颅内转移, 预后极差。本病例的超声表现可以为超声医生对此疾病的诊断提供一定帮助, 有助于临床医生有效地进行早期干预。

## 【参考文献】

- [1] Qiu M, Hu J, Yang D, et al. Pattern of distant metastases in colorectal cancer: a SEER based study [J]. *Oncotarget*, 2015, 6 (36): 38658-38666.
- [2] Amante MA, Real IO, Bermudez G. Thyroid metastasis from rectal adenocarcinoma [J]. *BMJ Case Rep*, 2018, 2018: bcr2018225549.
- [3] 刘世峰. 甲状腺常见疾病彩超诊断的应用价值及检查特征分析[J]. *现代诊断与治疗*, 2016, 27(9): 1649-1650.
- [4] 胡海平, 赵海娜, 马步云, 等. 常规超声及超声造影对甲状腺囊性乳头状癌的诊断价值[J]. *肿瘤预防与治疗*, 2020, 33(2): 147-153.
- [5] 张吉臻, 胡兵. 甲状腺滤泡癌的超声声像图特征[J]. *中华医学超声杂志(电子版)*, 2013, 10(6): 484-488.

【收稿日期】 2023-09-08; 【修回日期】 2023-09-27

【作者简介】 刘强(1989-), 男, 四川广安人, 主治医师。E-mail: 362174517@qq.com

【通信作者】 凌文武, 四川大学华西医院超声医学科, 610041。E-mail: lingwenwubing@163.com